



بررسی پگماتیت‌های ابراهیم عطار و اسکارن‌های وابسته به آن (جنوب غربی قروه)

صادیقه سلامی^{*}، علی اصغر سپاهی، محمد معانی جو

گروه زمین‌شناسی، دانشکده علوم، دانشگاه بوعلی سینا، همدان، ایران

(دریافت مقاله: ۹۱/۸/۲۴، نسخه نهایی: ۹۲/۲/۳)

چکیده: منطقه‌ی مورد بررسی در غرب ایران و در ۳۸ کیلومتری جنوب غربی شهرستان قروه واقع شده است و در تقسیمات زمین‌شناسی بخشی از زون سندنج-سیرجان به حساب می‌آید. این منطقه شامل دایک‌های پگماتیتی متعددی است که از نظر کانی‌شناسی و ژئوشیمی در گروه پگماتیت‌های مسکوویت‌دار حاوی عناصر کمیاب قرار می‌گیرند. لیتولوژی این توده از سینوگرانیت تا گرانوپوریت پگماتیتی متغیر است. سنگ‌های این مجموعه از نوع I، آهکی-قلیابی با پتانسیم متوسط تا بالا بوده و از نظر درجه اشباع از آلومینیوم در گسترده‌ی متاآلومین تا پرآلومین قرار دارند. مقدار پایین La/Yb (La/Yb) در این نمونه‌های پگماتیتی (۰/۲۸) نشان دهنده پیشرفت تبلور جدایشی در ماگمای اولیه است. مقدار Eu/Eu^{*} نیز در آنها بسیار پایین و برابر ۰/۱۳۷ است که حاکی از جدایش پلاژیوکلازهای غنی از HFSE قبل از مرحله‌ی پگماتیتی است. در نمودارهای عنکبوتی رسم شده، عناصر LILE نظیر K, Rb و Th نسبت به عناصر Ca بویژه Nb و Ti غنی شدگی نشان می‌دهند. تزریق پگماتیت‌های مورد بررسی به درون سنگ‌های کربناتی مجاور منجر به تشکیل اسکارن شده است، این اسکارن‌ها از ترکیب کانی‌شناسی متفاوتی نظیر: ترمولیت، اپیدوت، اسکاپولیت، کلینوزوئیزیت، پیروتیت، پیریت، کالکوپیریت و مگنتیت تشکیل شده‌اند. بر اساس ژئوشیمی پگماتیت‌های مورد بررسی، ترکیب آنها با توده‌های توام با اسکارن Sn, W و Mo همخوانی دارد، این امر با بررسی‌های صورت گرفته در منطقه در مورد کانه‌زایی Sn و W همخوانی دارد.

واژه‌های کلیدی: ژئوشیمی؛ آهکی-قلیابی؛ پگماتیت‌های ابراهیم عطار؛ اسکارن؛ قروه.

شاره‌های غیر قابل اختلاط در تشکیل پگماتیت‌ها بسیار مهم است [۲]. همچنین با استفاده از مدل‌های سرد شدن گرمائی نشان داد که پگماتیت‌های کم عمق خیلی سریع‌تر از آنچه که قبلًا تصور می‌شد، سرد می‌شوند [۳]، بنابراین دیدگاه زمین‌شناسان، راجع به تشکیل بلورهای پگماتیتی در نتیجه سرعت آهسته‌ی رشد در مدت طولانی تغییر کرد. تزریق توده‌های نفوذی در سنگ‌های آهکی مجاور باعث تشکیل اسکارن در محل تماس آنها می‌شود. از آن‌جا که ژئوشیمی توده‌های آذرین و اسکارن‌های مجاور آن‌ها با یکدیگر در ارتباطند، لذا از روی آنالیز نمونه‌های آذرین موجود می‌توان ژئوشیمی اسکارن‌های منطقه را حدس زد. براساس کانی‌های شاخصی که در مرمرها

مقدمه

پگماتیت‌ها سنگ‌های درشت بلوری هستند، که اغلب ترکیب اسیدی دارند و اندازه‌ی دانه‌های آنها اصولاً بزرگ‌تر از یک سانتی‌متر است. بهطور کلی در تشکیل بلورهای پگماتیتی مقدار پلیمریازیون و چسبندگی گدازه، افزایش سرعت انتشار و حلالیت ماگما موثرند. وجود اجزای فرار در گدازه‌های باقی-مانده سرعت و نرخ هسته‌زایی بلورها را کاهش می‌دهد. بررسی‌های صحرایی و آزمایشگاهی نشان داد که تبلور پگماتیت‌ها در محیط سرشار از مواد فرار در دمای زیر منحنی سیلان و شرایط دور از منحنی تعادلی صورت می‌گیرد [۱]. بررسی میانگیرهای مذاب در پگماتیت‌ها و ادخال‌های سیال نشان داد که نقش

* نویسنده مسئول، تلفن نمابر: ۰۰۸۳۸۱۴۶۰، پست الکترونیکی: Sedigheh.Salami91@gmail.com

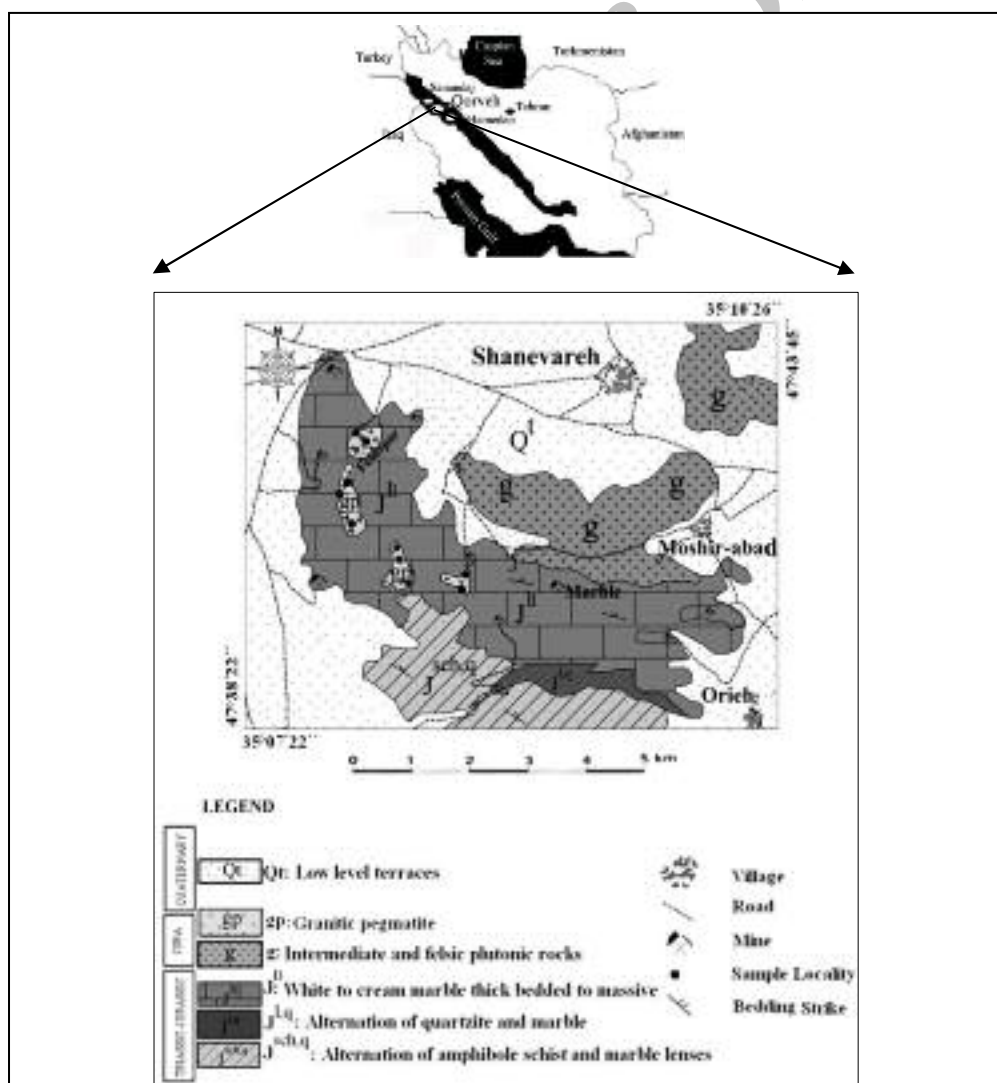
ها و اسکارن‌های منطقه است.

موقعیت منطقه‌ی مورد بررسی

منطقه‌ی مورد بررسی در شمال غربی ایران و در زون ساختاری سنندج-سیرجان، بین عرض‌های جغرافیایی $35^{\circ} 0' 22''$ تا $35^{\circ} 10' 47''$ شمالی و طول‌های جغرافیایی $47^{\circ} 38' 22''$ تا $47^{\circ} 43' 45''$ شرقی قرار گرفته است (شکل ۱).

بیرون‌زدگی‌های موجود در منطقه، بیشتر از طبقات چین خورده‌ی کربناتی دولومیتی (شکل ۲ الف) و شیسته‌های تریاس-ژوراسیک تشکیل شده است که توده‌ی پگماتیتی مورد نظر در آن‌ها نفوذ کرده و در برخوردگاه آن‌ها اسکارن تشکیل شده است (شکل ۲ ب). این اسکارن‌ها در مناطق مختلف حاشیه‌ی توده‌ی دارای ترکیب کانی‌شناسی متفاوتی هستند.

تشکیل شده‌اند، می‌توان به شرایط تقریبی دما و فشار حاکم بر محیط پی برد. برخی از بررسی‌هایی که در این منطقه و نواحی مجاور انجام گرفت شامل موارد زیرند: نخستین بررسی‌های سنگنگاری روی سنگ‌های آذرین جنوب قروه توسط [۴]، صورت گرفته است، [۵] نیز، نقشه زمین‌شناسی چهار گوش قروه با مقیاس ۱:۱۰۰۰۰ را تهیه کرده است، همچنین [۶]، به بررسی مآگماتیسم توده‌ی گرانوویوریتی جنوب قروه پرداخته است، [۷] نیز مجموعه‌ی آذرین - دگرگونی منطقه مشیرآباد- تازه آباد را بررسی کرده است و [۸] نیز به بررسی کانی‌زایی اسکارن‌های منطقه پرداخته است. با این وجود با توجه به اینکه مسئله سنگنگاری و ژئوشیمی توده‌های پگماتیتی موجود و اسکارن‌های حاشیه آنها، کمتر مورد توجه قرار گرفته است؛ لذا هدف از این پژوهش بررسی سنگنگاری و ژئوشیمی پگماتیت-



شکل ۱ نقشه‌ی زمین‌شناسی منطقه‌ی مورد بررسی در جنوب غربی قروه (با تغییر، از نقشه زمین‌شناسی ۱:۱۰۰۰۰۰ اسازمان زمین‌شناسی کشور).



شکل ۲ (الف) دولومیت‌های چین خورده در نزدیکی پگماتیت‌ها. (ب) نفوذ توده پگماتیتی در داخل لایه کربناتی دولومیتی و تشکیل اسکارن در حد فاصل آنها.

سمت مرکز توده، تغییرات کانی‌شناسی و بافتی به روشنی دیده می‌شود. این توده را می‌توان به چهار منطقه تقسیم‌بندی کرد که از خارج به داخل عبارتند از: ۱- منطقه‌ی حاشیه‌ای ۲- منطقه‌ی دیواره‌ای ۳- منطقه‌ی میانی ۴- منطقه‌ی مرکزی. منطقه‌ی حاشیه‌ای: از کانی‌های فلدسپار (۴۵٪)، کوارتز (۳۵٪)، مسکوویت (۱۰٪)، بیوتیت (۹٪) و اسفن (۱٪)، منطقه‌ی دیواره‌ای از کانی‌های کوارتز (۴۰٪)، فلدسپار (۴۰٪)، مسکوویت (۱۵٪)، بیوتیت (۳٪) و گارنت (۲٪)، منطقه میانی از کانی‌های کوارتز (۴۰٪)، فلدسپار (۳۰٪)، بریل (۲۰٪)، درشت بلورهای مسکوویت (۸٪) و بیوتیت (۲٪) و منطقه‌ی مرکزی: شامل عدسی‌های بزرگی از کوارتز دودی و سفید (۷۰٪) و فلدسپار پتاسیم (۳۰٪) تشکیل شده‌اند. کانی‌های اصلی در توده‌ی مورد بررسی شامل: کوارتز، پلاژیوکلاز، فلدسپار پتاسیم، موسکوویت و بیوتیت هستند و کانی‌های فرعی عبارتند از گارنت، زیرکن، اسفن و آلانیت (شکل ۳ ب). در مورد علل تشکیل گارنت در پگماتیت‌ها نظریه‌های متفاوتی توسط دانشمندان ارائه شده است؛ از جمله [۹]، سازوکاری را پیشنهاد کرد که بر اساس آن مقدار Mn در بخش سقف مخزن ماگمایی با افزایش شاره‌ها به تدریج زیاد می‌شود. به تأکید [۱۰]، با افزایش جدایش در مagma همگام با افزایش Al مقدار Mn نیز به تدریج زیاد می‌شود و باعث تشکیل گارنت‌های غنی از Fe و Mn می‌شود. [۱۱]، نیز بر این عقیده است که در اعمق کم در ساختار گارنت ثبت نمی‌شود. یکی دیگر از کانی‌های Mn فرعی کانی آلانیت است که یکی از اعضای خانواده اپیدوت-

روش پژوهش

طی بررسی‌های صحرایی، تعداد ۱۰۰ نمونه‌ی دستی، از توده‌ی پگماتیتی و اسکارن‌های مجاور آن نمونه بردازی شدند و از ۳۰ نمونه مقطع نازک تهیه و مورد بررسی قرار گرفتند. ۱۰ نمونه پگماتیتی نیز به روش‌های ICP-AES و ICP-MS با استفاده از ذوب لیتیم متaborات (Lithium metaborate fusion)، در شرکت SGS کانادا آنالیز شدند، و دو نمونه از اسکارن‌های منطقه نیز، برای بررسی به روش پراش پرتو ایکس با دستگاه Ital structure X-ray diffractometer kV ۴۰، جریان ۳۰ mA و با کاتد Cu $\text{Cu } \alpha$ در دانشگاه بولونی سینا آنالیز شدند.

واحدهای سنگ‌شناسی

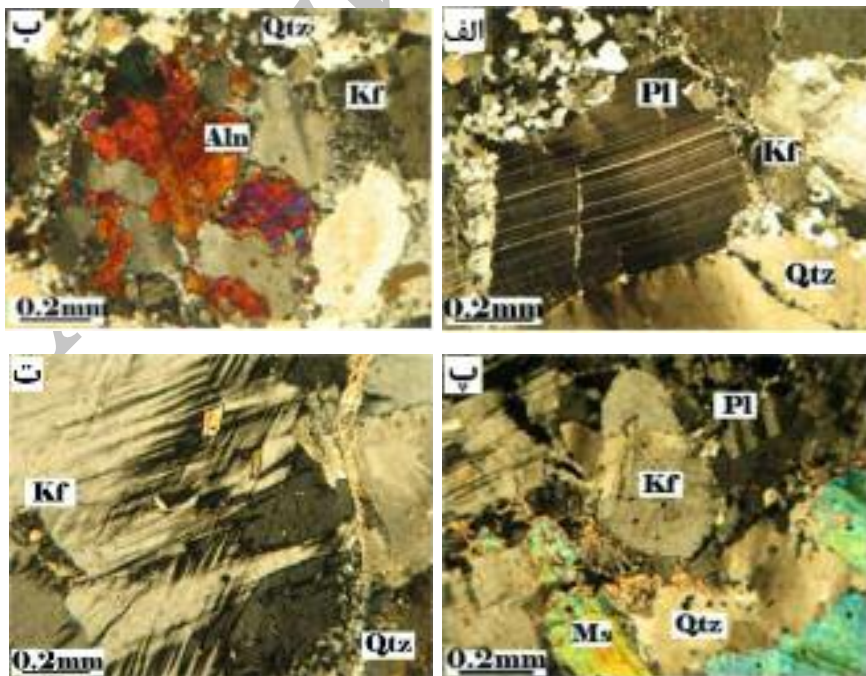
واحدهای سنگی موجود در منطقه شامل پگماتیت‌ها و اسکارن‌ها هستند که به بررسی آنها می‌پردازیم:

پگماتیت‌ها

بخش بزرگی از کوه ابراهیم عطار از دایک‌های پگماتیتی با راستای شمال غربی-جنوب شرقی تشکیل شده است که در سنگ‌های کربناتی دولومیتی منطقه نفوذ کرده‌اند. طول این برون‌زدگی‌های پگماتیتی حدود ۷۰۰ متر و عرض آنها حدود ۲۰۰ متر است. این توده‌ی پگماتیتی در مناطق مختلف دارای ترکیب متفاوتی از سینوگرانیت تا گرانوپوریت است (شکل ۳ الف و ۳ پ)، واحدهای سنگی مورد نظر در نمونه‌ی دستی غالباً سفید و از نظر ضریب رنگینی هولولوکورکات هستند. توده پگماتیتی مورد بررسی دارای منطقه‌بندی است و از حاشیه به

زمین ساختی وارد شده در منطقه‌اند [۱۳]. با توجه به ژئوشیمی و کانی‌شناسی پگماتیت‌های مورد بررسی در رده‌بندی [۱۴] این پگماتیت‌ها در دسته‌ی موسکوویت‌دار حاوی عناصر کمیاب (MSREL) قرار می‌گیرند. کانی‌های میزبان عناصر کمیاب که در این گروه شاخص‌اند و در پگماتیت‌های مورد بررسی نیز یافت می‌شوند؛ و از آلانیت، بریل، اسفن و گارنت تشکیل شده‌اند. پگماتیت‌هایی که در این گروه قرار می‌گیرند در مقایسه با گرانیت‌های مولد خود اغلب دارای منطقه‌بندی هستند [۱۵-۱۷] که نشان دهنده‌ی تبلور جدایشی ماقمای تشکیل دهنده‌ی این پگماتیت‌هاست که به خوبی در پگماتیت‌های منطقه‌دیده می‌شود. بیرون زدگی‌های مجاور این توده پگماتیتی، توده‌های نفوذی با ترکیب لیتولوژی متنوعی نظیر: دیوریت، کوارتز، دیوریت، مونزودیوریت، کوارتز مونزودیوریت، تونالیت، گرانوودیوریت و گرانیت را شامل می‌شوند، بر اساس بررسی‌های صورت گرفته در منطقه و نیز روند تغییرات در نمودارهای هارکر و نمودارهای عنکبوتی مربوطه، ارتباط بین نمونه‌های مختلف موجود از نوع تبلور جدایشی است [۱۸]، لذا پگماتیت‌های مورد بررسی، آخرین فاز تبلور ماقما در منطقه‌اند.

هاست و حاوی عناصر نادر خاکی و عناصر رادیواکتیو و نیوز ترکیب نسبتاً پیچیده‌ی $(\text{Ca}, \text{Mn}, \text{Ce}, \text{La}, \text{Y}, \text{Th})_2(\text{Fe}^{+3}, \text{Fe}^{+2}, \text{Ti})\text{Al}_2\text{O}.\text{OH}(\text{Si}_2\text{O}_7)(\text{SiO}_4)$ است، تشکیل آن در پگماتیت‌ها به علت انباست این عناصر در مراحل پایانی تبلور ماقماست. مهم‌ترین کانی فرعی موجود که در زون میانی توده تشکیل شده است بریل است، که به صورت بلورهایی با اندازه‌های متفاوت از چند سانتی‌متر تا بیش از یک متر دیده می‌شوند. تشکیل این بلورها نشان دهنده‌ی پیشرفت بیش از ۹۵ درصد جدایش در گدازه‌های گرانیتی و انباست بریلیم در گدازه‌ی باقی‌مانده است [۱۲]. هرچه از حاشیه‌ی توده‌ی پگماتیتی به سمت مرکز نزدیک می‌شویم، اندازه‌ی کانی‌های تشکیل شده به تدریج افزایش می‌یابد، بطوری‌که نمونه‌ها به راحتی در اندازه‌ی ماکروسکوپی قابل تشخیص‌اند، و در برخی کانی‌ها نیز بافت‌های دگرشکلی، نظیر کوارتزهای با خاموشی موجی، کوارتزهای کشیده، میکماهی، میکروکلین با ماکل‌های کج شده، پرتیت شعله‌ای، ارتوکلاز دگرشکل شده حاوی ماکل تارتان (میکروکلین) در برخی قسمت‌های بلورهای آن (شکل ۳ ت) و پلازیوکلاز بارخ پاله‌ای، سوزنی و قفسه‌کتابی، در مقاطع نشان دهنده‌ی نیروهای



شکل ۳ تصاویر میکروسکوپی نمونه‌های پگماتیتی منطقه در نور XPL. (الف) گرانوودیوریت پگماتیتی با کوارتزهای ساب گرین شده و پلازیوکلاز با ماکل‌های خمیده. (ب) حضور آلانیت در پگماتیت‌های منطقه. (پ) مونزوگرانیت پگماتیتی (ت) ارتوکلاز دگرشکل شده حاوی ماکل تارتان (میکروکلین) در برخی قسمت‌های بلورهای آن. Pl: پلازیوکلاز، Kf: فلدسپار پتاسیم، Qtz: موسکوویت، Ms: آلانیت.

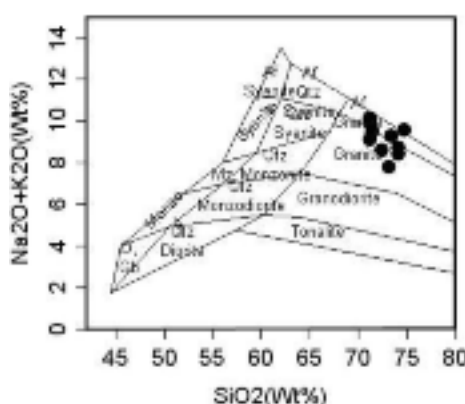
گستره‌ی متالومین تا کمی برآلومین قرار می‌گیرند (شکل ۵). نمونه‌های مورد بررسی در نمودار مجموع اکسیدهای قلیایی در مقابله SiO_2 در گستره‌ی نیمه قلیایی قرار می‌گیرند (شکل ۶) [۲۱] و در نمودار FeO/MgO نسبت به SiO_2 نمونه‌ها در گستره‌ی (الف) [۲۲]. در نمودار $\text{SiO}_2/\text{K}_2\text{O}$ نسبت به SiO_2 نیز نمونه‌ها در گستره‌ی آهکی-قلیایی قرار می‌گیرند (شکل ۶ ب) [۲۲]. در نمودار SiO_2/CaO نسبت به SiO_2 آهکی-قلیایی پتسیم متوسط تا بالا قرار می‌گیرند (شکل ۶ پ) [۲۳].

ژئوشیمی پگماتیت‌ها ژئوشیمی عناصر اصلی

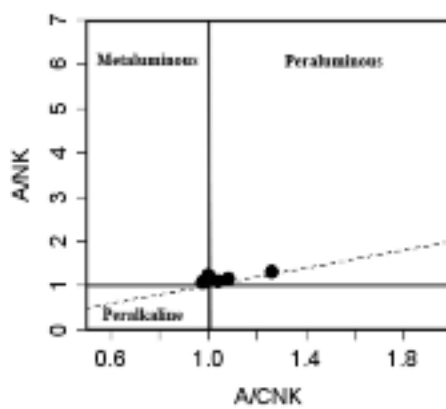
نتایج آنالیز عناصر اصلی وابسته به ۱۰ نمونه پگماتیتی به روش‌های ICP-MS و ICP-AES در جدول ۱ ارائه شده‌اند. نمونه‌های آنالیز شده حدود ۷۱ تا ۷۵ درصد وزنی SiO_2 را شامل می‌شوند. موقعیت نسبی نمونه‌ها، در نمودار [۱۹] مشخص شده است، در این نمودار بیشتر نمونه‌ها در گستره‌ی گرانیت تا گرانیت قلیایی قرار می‌گیرند (شکل ۴). این نمونه‌ها از نظر درجه‌ی اشباع از آلومینا، در نمودار مربوط به [۲۰]، در

جدول ۱ نتایج آنالیز نمونه‌های پگماتیتی، به روش ICP-MS و ICP-AES (نمونه‌ها از منطقه‌ی حاشیه‌ای توده برداشت شده‌اند).

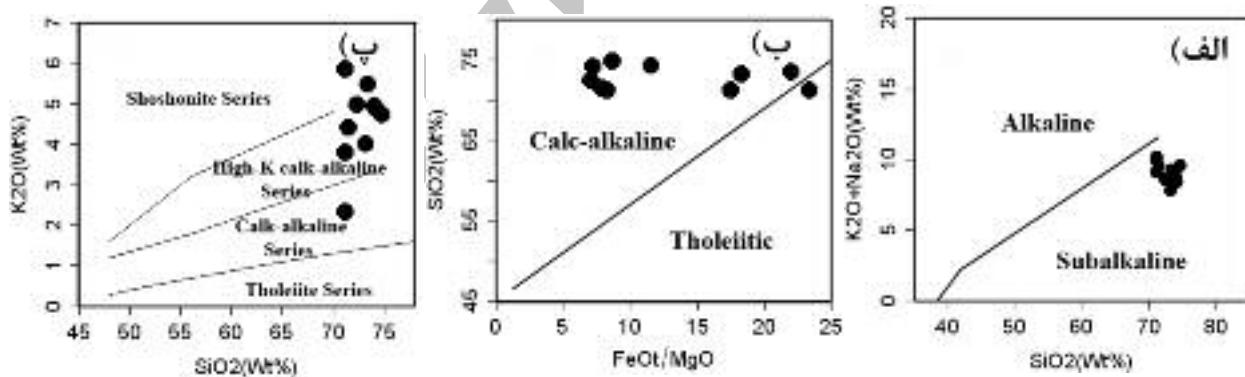
| Sample Oxide | ۱ | ۲ | ۳ | ۴ | ۵ | ۶ | ۷ | ۸ | ۹ | ۱۰ |
|---------------------------|-----------------------|-------|-------|-------|-------|-------|-------|-------|-------|-------|
| | Major elements (Wt %) | | | | | | | | | |
| SiO_2 | ۷۴.۱ | ۷۴.۸ | ۷۱.۲ | ۷۱.۲ | ۷۲.۴ | ۷۱.۵ | ۷۱.۲ | ۷۴.۲ | ۷۲.۴ | ۷۲.۲ |
| TiO_2 | ۰.۴ | ۰.۳ | ۰.۰۱ | ۰.۰۱ | ۰.۰۲ | ۰.۰۲ | ۰.۰۲ | ۰.۰۷ | ۰.۱۴ | ۰.۳ |
| Al_2O_3 | ۱۴.۱ | ۱۴.۴ | ۱۴.۸ | ۱۶.۲ | ۱۳ | ۱۳.۹ | ۱۴.۶ | ۱۲.۲ | ۱۲.۹ | ۱۳.۷ |
| Cr_2O_3 | <۰.۱ | <۰.۰۱ | <۰.۰۱ | <۰.۰۱ | <۰.۰۱ | <۰.۰۱ | <۰.۰۱ | <۰.۰۱ | <۰.۰۱ | <۰.۰۱ |
| Fe_2O_3^* | ۰.۲۴ | ۰.۲۹ | ۰.۲۶ | ۰.۴۶ | ۰.۴۹ | ۰.۳۵ | ۰.۷۸ | ۰.۹ | ۱.۲۶ | ۱.۰۲ |
| MgO | ۰.۰۳ | ۰.۰۳ | ۰.۰۱ | ۰.۰۵ | ۰.۰۲ | ۰.۰۴ | ۰.۰۴ | ۰.۰۷ | ۰.۱۶ | ۰.۰۵ |
| MnO | ۰.۰۱ | ۰.۰۱ | ۰.۰۱ | ۰.۰۱ | <۰.۰۱ | <۰.۰۱ | ۰.۰۱ | ۰.۰۲ | ۰.۰۳ | ۰.۰۱ |
| CaO | ۱.۴ | ۰.۴۴ | ۰.۶۱ | ۰.۷۹ | ۰.۶۳ | ۰.۵۷ | ۰.۳۵ | ۰.۷۶ | ۰.۹۱ | ۰.۱۴ |
| K_2O | ۴.۹۴ | ۴.۷۴ | ۵.۸۵ | ۲.۲۲ | ۵.۴۷ | ۴.۴۱ | ۳.۷۹ | ۴.۸۹ | ۴.۹۶ | ۴ |
| Na_2O | ۳.۷۵ | ۴.۰۳ | ۴.۲۷ | ۷.۶۴ | ۳.۸ | ۵.۱ | ۵.۳ | ۳.۵ | ۳.۶ | ۳.۸ |
| P_2O_5 | ۰.۰۷ | ۰.۰۹ | ۰.۰۷ | ۰.۱ | ۰.۰۸ | ۰.۰۹ | ۰.۱ | ۰.۰۷ | ۰.۰۸ | ۰.۰۶ |
| LOI | ۰.۵ | -۰.۲۰ | ۱.۰ | ۰.۳۰ | ۰.۶۷ | ۰.۵۷ | ۰.۷۶ | ۰.۳۸ | ۰.۵۲ | ۱.۰۷ |
| total | ۹۹.۲ | ۹۹.۵ | ۹۸.۲ | ۹۹.۱ | ۹۷.۶ | ۹۶.۵ | ۹۷.۰ | ۹۷.۰ | ۹۶.۹ | ۹۷.۱ |
| | Trace elements (ppm) | | | | | | | | | |
| Ag | <۱ | <۱ | <۱ | <۱ | ۲ | <۱ | ۱ | <۱ | <۱ | ۲ |
| Ba | ۴۸.۶ | ۷ | ۴.۱ | ۹.۱ | <۱.۰ | <۱ | <۱.۰ | ۱۵.۰ | ۱۶.۰ | <۱.۰ |
| Ce | ۰.۳ | ۱.۰۳ | ۲.۹ | ۶.۳ | ۱۷.۹ | ۱۲.۹ | ۴.۹ | ۱۸.۱ | ۳۳.۱ | ۲.۹ |
| Co | <۰.۵ | <۰.۵ | <۰.۵ | ۰.۵ | <۰.۵ | <۰.۵ | <۰.۵ | ۰.۸ | ۱ | ۰.۶ |
| Cs | ۲.۹۲ | ۲.۴۴ | ۳.۶۸ | ۱.۸۶ | ۲.۹ | ۲ | ۶.۳ | ۱.۴ | ۱.۵ | ۳۵.۷ |
| Cu | ۰ | ۶ | <۰ | ۹ | ۷ | ۱۷ | ۱ | ۱۳ | ۹ | ۱ |
| Dy | ۲۴.۱ | ۲۵.۱ | ۱.۲۶ | ۲ | ۲.۰ | ۱.۲ | ۱.۳۹ | ۱.۸۷ | ۱.۷ | ۱.۸۸ |
| Er | ۱.۲ | ۱.۱۴ | ۰.۶۳ | ۰.۹۹ | ۱.۴۵ | ۰.۶۵ | ۰.۵۴ | ۱.۱۱ | ۱.۱۷ | ۰.۸۱ |
| Eu | ۰.۰۶ | ۰.۰۷ | ۰.۰۳ | ۰.۰۳ | <۰.۰۵ | ۰.۰۷ | <۰.۰۵ | ۰.۰۷ | ۰.۰۸ | <۰.۰۵ |
| Ga | ۲۴.۳ | ۲۱.۸ | ۲۲.۷ | ۲۵.۳ | ۱۹ | ۲۵ | ۳۳ | ۱۴ | ۱۶ | ۴۵ |
| Gd | ۱.۴۴ | ۱.۳۸ | ۰.۷۶ | ۱.۰۸ | ۲.۵۸ | ۱.۰۲ | ۱ | ۱.۵۵ | ۱.۷ | ۱.۲۹ |
| Hf | ۱.۸ | ۰.۶ | ۰.۹ | ۱ | ۲ | <۱ | ۱ | ۳ | ۴ | ۱ |
| Ho | ۰.۴ | ۰.۴ | ۰.۲۱ | ۰.۳۴ | ۰.۴۵ | ۰.۱۹ | ۰.۱۸ | ۰.۳۲ | ۰.۳۵ | ۰.۲۸ |
| La | ۲ | ۴.۶ | ۱.۸ | ۳.۳ | ۷.۴ | ۷.۹ | ۳.۵ | ۱۱.۵ | ۱۸.۳ | ۲.۲ |
| Lu | ۰.۲۷ | ۰.۲۲ | ۰.۱۴ | ۰.۲۲ | ۰.۲۷ | ۰.۱ | ۰.۰۸ | ۰.۱۷ | ۰.۲۳ | ۰.۱۴ |
| Mo | <۲ | <۲ | <۲ | <۲ | <۲ | <۲ | <۲ | <۲ | <۲ | <۲ |
| Nb | ۱۰.۲۵ | ۷۰.۳ | ۳.۵ | ۶۸.۱ | ۱۰.۹ | ۲۸ | ۶۱ | ۲۰ | ۲۰ | ۱.۰۲ |
| Nd | ۳.۵ | ۴.۲ | ۱.۲ | ۲.۴ | ۸.۱ | ۴.۵ | ۱.۸ | ۷ | ۹.۳ | ۱.۷ |
| Ni | <۰.۵ | <۰.۵ | <۰.۵ | ۰.۵ | <۰.۵ | <۰.۵ | <۰.۵ | ۷ | ۱۱ | ۰.۵ |
| Pr | ۰.۷۸ | ۱.۱۸ | ۰.۳۲ | ۰.۷۱ | ۲.۱۸ | ۱.۲۲ | ۰.۵ | ۱.۸۷ | ۳.۱۹ | ۰.۴۴ |
| Rb | ۳۳.۴ | ۳۱.۲ | ۳۸.۳ | ۱۷۸.۰ | ۳۶۴ | ۳۰.۳ | ۳۷۶ | ۱۶.۰ | ۱۸.۰ | ۰.۸۶ |
| Sm | ۱.۷۱ | ۱.۰۵ | ۰.۶۳ | ۱.۱۸ | ۲.۸ | ۱ | ۰.۷ | ۱.۵ | ۱.۹ | ۰.۹ |
| Sn | ۱ | ۱ | ۱ | ۱ | <۱ | ۱ | <۱ | <۱ | ۲ | ۳۷ |
| Sr | ۰.۰۱ | ۱۴.۵ | ۱۲.۸ | ۱۰ | ۱۰ | <۱.۰ | ۰.۰۵ | ۴۰ | <۱.۰ | |
| Ta | ۲.۸ | ۱۲.۵ | ۶.۳ | ۱۲.۸ | ۱۹.۸ | ۷.۲ | ۸.۸ | ۲.۱ | ۲.۲ | ۱۳.۷ |
| Tb | ۰.۳۸ | ۰.۳۹ | ۰.۲۱ | ۰.۳۱ | ۰.۴۸ | ۰.۱۸ | ۰.۲۱ | ۰.۲۴ | ۰.۲۸ | ۰.۳ |
| Th | ۶۳.۹ | ۵۰.۵ | ۴۱.۸ | ۳۷ | ۱۲.۹ | ۹.۹ | ۴.۳ | ۱۹ | ۲۱.۲ | ۹.۷ |
| Tl | <۰.۵ | <۰.۵ | <۰.۵ | <۰.۵ | ۰.۸ | ۰.۶ | ۰.۸ | <۰.۵ | <۰.۵ | ۱.۴ |
| Tm | ۰.۲۳ | ۰.۲۳ | ۰.۱۲ | ۰.۱۹ | ۰.۲۶ | ۰.۱ | ۰.۰۹ | ۰.۱۵ | ۰.۲ | ۰.۱۳ |
| U | ۱۲.۸ | ۷۰.۸ | ۰.۴۵ | ۰.۴۹ | ۲۱.۷ | ۰.۳۸ | ۴.۰۲ | ۰.۱۷ | ۳۶.۹ | ۱.۰۴ |
| V | <۰.۵ | <۰.۵ | <۰.۵ | <۰.۵ | <۰.۵ | ۶ | ۵ | ۱۰ | ۲۱ | ۶ |
| W | ۱ | ۲ | ۲ | ۳ | ۲ | <۱ | ۴ | <۱ | <۱ | ۱۲ |
| Y | ۱۳.۴ | ۱۳.۰ | ۷.۱ | ۱۰.۲ | ۱۴.۸ | ۶.۳ | ۶.۷ | ۹.۳ | ۱۱ | ۱۰.۸ |
| Yb | ۱.۹ | ۱.۶۳ | ۰.۹۵ | ۱.۰۳ | ۲.۴ | ۰.۸ | ۰.۹ | ۱.۳ | ۱.۴ | ۱ |
| Zn | ۱۳ | ۱۰ | ۵ | ۱۶ | ۷ | ۸ | ۱۲ | ۱۱ | ۲۰ | ۱۸ |
| Zr | ۲۳ | ۹ | ۱۴ | ۱۳ | ۳۰ | ۱۰ | ۲۰ | ۶ | ۵ | ۴۰ |



شکل ۴ موقعیت نمونه‌های مورد مطالعه در نمودار مجموع آلکالن - سیلیس TAS [۱۹].



شکل ۵ نمودار تغییرات A/CNK نسبت به A/CNK [۲۰] که نشان دهنده طبیعت متاآلومین تا پرآلومین نمونه‌های مورد مطالعه است.



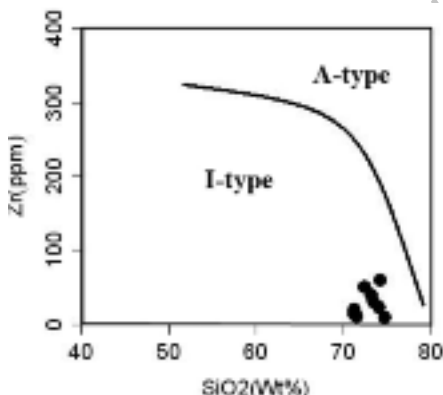
شکل ۶ تعیین سری ماقمایی: (الف) موقعیت نمونه‌های مورد بررسی در نمودار مجموع اکسیدهای قلیایی نسبت به SiO_2 [۲۱] نمونه‌ها در سری نیمه قلیایی قرار می‌گیرند. (ب) موقعیت نمونه‌های مورد بررسی در نمودار FeO/MgO نسبت به SiO_2 [۲۲] نمونه‌ها در سری آهکی-قلیایی قرار می‌گیرند. (پ) موقعیت نمونه‌های مورد بررسی در نمودار K_2O نسبت به SiO_2 [۲۳]، اکثر نمونه‌ها در گستره‌ی آهکی-قلیایی پاتاسیم متواتسیم تا بالا قرار می‌گیرند.

ppm)، $\text{Cs}(14-357 \text{ ppm})$ ، $\text{Nb}(20-102 \text{ ppm})$ ، $\text{Ba}(41$ ppm)، $\text{Rb}(160-586 \text{ ppm})$ و $\text{La}(18-183 \text{ ppm})$ غنی شده‌اند، اما مقدار عناصر سازگار نظیر $\text{Ni}(5-11 \text{ ppm})$ و $\text{V}(5-21 \text{ ppm})$ پایین است، که نشان دهنده انباست عناصر ناسازگار در پکماتیت‌ها،

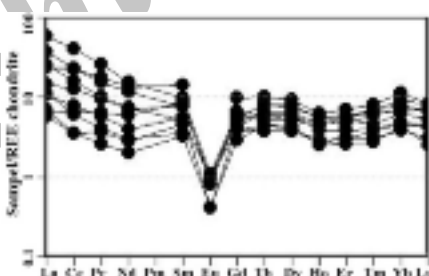
ژئوشیمی عناصر کمیاب
نتایج آنالیز شیمیایی عناصر کمیاب وابسته به ۱۰ نمونه‌ی پگماتیتی در جدول ۱ ارائه شده‌اند. به طور کلی در این نمونه‌ها مقدار عناصر ناسازگار نظیر ($\text{Ga}(14-45 \text{ ppm})$ ، $\text{Ga}(14-45 \text{ ppm})$)، $\text{Ga}(14-45 \text{ ppm})$ ، $\text{Ga}(14-45 \text{ ppm})$)،

[۲۶]. در شکل ۹ نیز تغییرات عناصر کمیاب در نمونه‌ها نسبت به فراوانی آن‌ها در گوشه‌های اولیه [۲۷] بهتر شده است. در این نمودار بیهنجاری منفی عناصر Ba, Sr, Nb, P, Ti به خوبی دیده می‌شود، که می‌تواند مربوط به توده‌های آهکی-قلیایی قوسی باشد [۲۸]؛ بیهنجاری منفی Ba می‌تواند به جدایش بیوتیت از گذازه وابسته باشد، بیهنجاری منفی Nb و Ti نیز با جدایش آمفیبول‌ها و کانی‌های حاوی Ti نظریت تیتانیت ارتباط دارد، بیهنجاری منفی Sr با بیهنجاری منفی Eu همخوانی دارد و میان جدایش پلازیوکلаз کلسیک در طول جدایش ماگما است و بیهنجاری منفی P نیز به تبلور تفریقی آپاتیت از ماگما وابسته است.

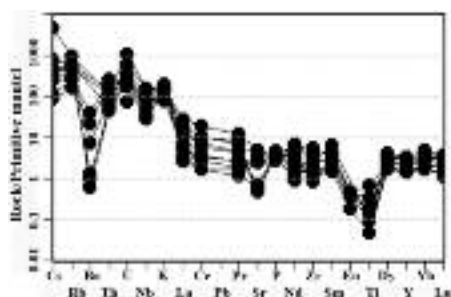
بعنوان آخرین فاز تبلور ماگماست. در نمودار Zr نسبت به SiO₂ [۲۴] بیشتر نمونه‌ها در موقعیت I-type قرار می‌گیرند (شکل ۷). الگوهای REE بهنچار شدهی نمونه‌های پگماتیتی نسبت به فراوانی آنها به کندریت [۲۵] در شکل ۸ نشان داده شده است. درجه غنی شدگی عناصر LREE نسبت به HREE که غالباً به صورت (La/Yb) گزارش می‌شود در این نمونه‌ها پایین و برابر ۰/۲۸ است، که نشان دهندهی پیشرفت تبلور جدایشی در منطقه است. نایهنجاری Eu نیز که به صورت Eu/Eu* بیان می‌شود، در این نمونه‌ها برابر ۰/۱۳۷ است، که حاکی از جانشینی این عنصر در پلازیوکلازهای غنی از کلسیم در طول تبلور جدایشی ماگما قبل از مرحله‌ی پگماتیتی است.



شکل ۷ موقعیت نمونه‌های مورد مطالعه در نمودار Zr/SiO₂. [۲۴]



شکل ۸ نمودار عنکبوتی عناصر REE نمونه‌های مختلف که نسبت به کندریت بهنچار شده‌اند [۲۵]، وجود بیهنجاری منفی Eu، نشان دهندهی جدایش پلازیوکلازهای غنی از Ca در طول تبلور جدایشی از ماگماست.

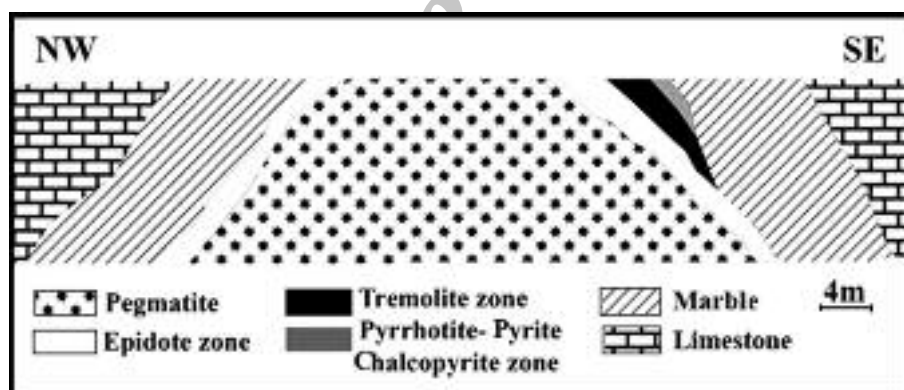


شکل ۹ نمودار عنکبوتی فراوانی عناصر کمیاب در نمونه‌های پگماتیتی که نسبت به گوشه‌های اولیه بهنچار شده‌اند [۲۶]. در همه نمودارها بیهنجاری منفی عناصر Ba, Sr, Nb, P, Ti به وضوح دیده می‌شوند، این ویژگی مربوط به توده‌های آهکی-قلیایی قوسی است.

است. اسکارن ترمولیت و اسکاپولیت دار نیز بیشتر در برخوردگاه با مرمرهای سیاه منطقه تشکیل شده‌اند (شکل ۱۱ ت) که دارای ترمولیت (٪۵۰)، دولومیت (٪۴۰) و اسکاپولیت (٪۱۰) هستند، الگوی پراش نمونه‌ی آنالیز شده با شکل ۱۲ همخوانی دارد. اسکاپولیت به عنوان یک کانی شاخص دگرگونی همبrij در سنگ آهکی بلورین است؛ ترکیب این کانی شبیه فلدسپارهاست، با توجه به اینکه اسکاپولیت‌های موجود در محیط سیلیکات آهکی تشکیل شده‌اند ترکیب آنها به میونیت (3CaAl₂Si₂O₈, CaSO₄(CaCO₃) نزدیک‌تر است تا به ماریالیت (3NaAlSi₃O₈, NaCl). اسکارن‌های ترمولیتی حاوی ترمولیت (٪۷۰)، مگنتیت (٪۲۰) و کوارتز (٪۱۰) نیز به صورت پراکنده در حاشیه‌ی غربی توده‌ی پگماتیتی دیده می‌شوند (شکل ۱۱ ث، ۱۱ ج). علاوه بر این، اسکارن‌های حاوی پیروتیت، پیریت و کالکوپیریت نیز در قله کوه ابراهیم عطار (۲۶۸۹m) و در حد فاصل پگماتیت‌ها و دولومیت‌های اطراف تشکیل شده‌اند (شکل ۱۳، جدول ۲)، الگوی پراش نمونه آنالیز شده وابسته در شکل ۱۴ آورده شد.

اسکارن‌ها

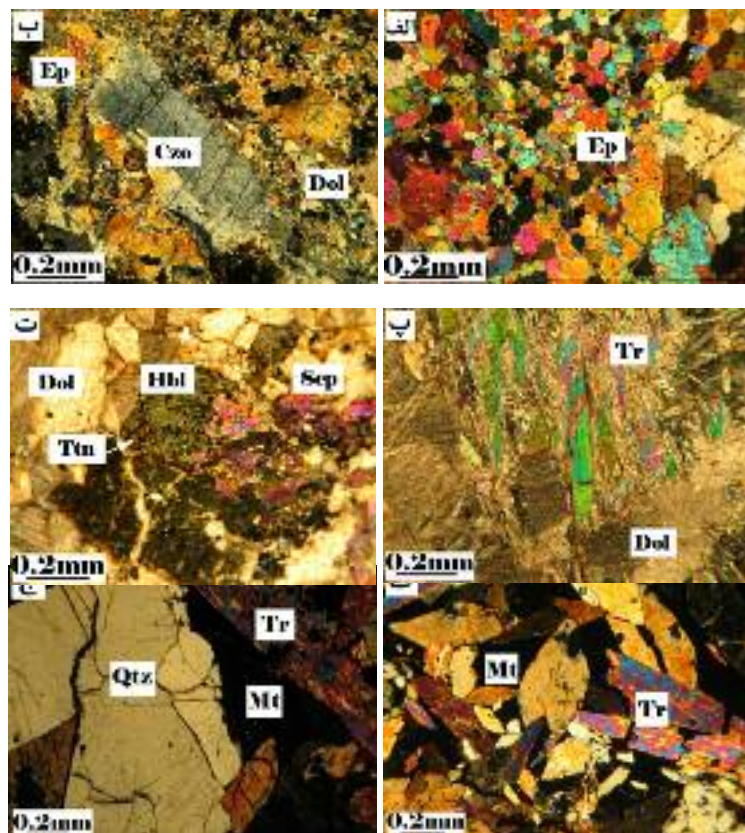
در برخوردگاه پگماتیت‌ها با سنگ‌های کربناتی حاشیه، زون-های اسکارنی متفاوتی تشکیل شده‌اند؛ منطقه‌بندی این اسکارن‌ها در شکل ۱۰ و مشخصات کانی‌شناسی و موقعیت جغرافیایی این زون‌ها در جدول ۲ آورده شده‌اند. این اسکارن‌ها شامل: اسکارن اپیدوتی که به صورت هاله‌ای سبز رنگ در اطراف توده‌ی پگماتیتی دیده می‌شود (شکل ۲ الف)، در ارتفاعات کوه ابراهیم عطار این نوع اسکارن‌ها بیشتر از اپیدوت (٪۸۰) و درصد کمی دولومیت (٪۷)، پلازیوکلاز (٪۶) و ترمولیت (٪۴) و کوارتز (٪۳) تشکیل شده‌اند (شکل ۱۱ الف). در یال شرقی کوه ابراهیم عطار اسکارن‌های اپیدوتی حاوی کانی‌های اپیدوت (٪۵۰)، دولومیت (٪۲۵)، کلینیوزوئیزیت (٪۲۰) و زوئیزیت (٪۵)، هستند (شکل ۱۱ ب). اسکارن ترمولیت‌دار یکی دیگر از انواع اسکارن‌های تشکیل شده در منطقه است (شکل ۱۱ پ)، این اسکارن‌ها بیشتر در یال شمالی کوه ابراهیم عطار، در برخوردگاه بین توده‌ی پگماتیتی و مرمرها دیده می‌شوند که دارای بیش از ٪۷۰ ترمولیت و حدود ٪۳۰ کلسیت



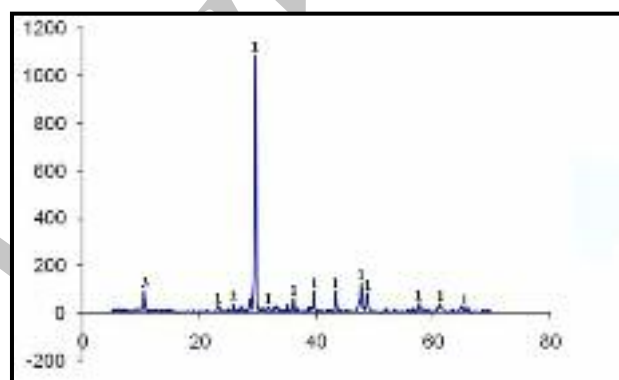
شکل ۱۰ منطقه‌بندی اسکارن‌های حاشیه پگماتیت‌های ابراهیم عطار.

جدول ۲ انواع اسکارن‌های موجود و کانی‌های تشکیل دهنده و موقعیت جغرافیایی آنها. X: کانی اصلی، O: کانی فرعی. Ep: اپیدوت، Opc: کانی Cal / Dol : کلسیت یا دولومیت، Czo: کلینیوزوئیزیت، Scp: اسکاپولیت، Qtz: کوارتز، Pl: پلازیوکلاز، Ttn: تیتانیت.

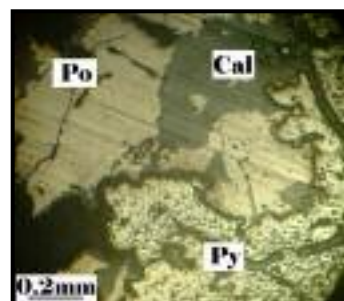
| ارتفاع | ارتفاع جغرافیایی | عرض جغرافیایی | موقعیت جغرافیایی | | | | | | | | | کانی‌های موجود | | | | | | | | | زون بندی اسکارن‌های منطقه | | | | | | | | | |
|--------|------------------|---------------|------------------|----|-----|-----|-----|---------|----|-----|----|----------------|----|-----|-----|-----|---------|----|-----|----|---------------------------|----|-----|-----|-----|---------|----|-----|----|--|
| | | | Ttn | Pl | Qtz | Scp | Czo | Cal/Dol | Tr | Opc | Ep | Ttn | Pl | Qtz | Scp | Czo | Cal/Dol | Tr | Opc | Ep | Ttn | Pl | Qtz | Scp | Czo | Cal/Dol | Tr | Opc | Ep | |
| ۲۵۲۲ | ۴۷° ۴۱'۶" | ۳۵° ۰'۹/۴" | O | O | | | | O | X | | X | | | | | | | | | | | | | | | | | | | |
| ۲۴۳۶ | ۴۱° ۴۷'۱۶/۴ | ۳۵° ۸'۱۰/۲" | | | | | | X | X | | | X | | | | | | | | | | | | | | | | | | |
| ۲۶۶۰ | ۴۷° ۴۱'۱۷" | ۳۵° ۰'۷'۵۶" | O | | | X | | X | X | | | | | | | | | | | | | | | | | | | | | |
| ۲۶۳۸ | ۴۷° ۴۱'۲۱/۶ | ۳۵° ۰'۸'۴۳" | | O | | | | X | X | | | | | | | | | | | | | | | | | | | | | |
| ۲۶۸۹ | ۴۷° ۴۱'۱۹/۶ | ۳۵° ۷'۴۹/۸" | | | | | | O | | X | | | | | | | | | | | | | | | | | | | | |



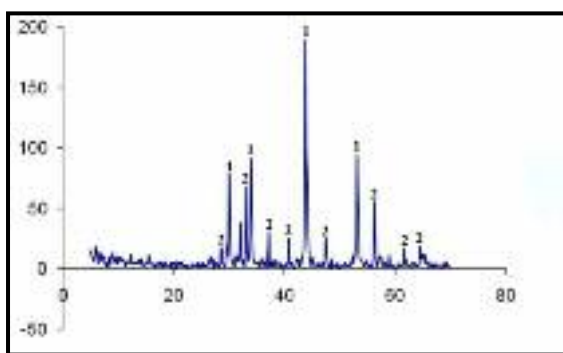
شکل ۱۱ تصاویر میکروسکوپی نمونه‌های اسکارنی منطقه در نور XPL. (الف) اسکارن اپیدوت و کلینوزوئیزیت‌دار (پ) اسکارن ترمولیت‌دار (ت) اسکارن ترمولیت و اسکاپولیت‌دار (ث) اسکارن ترمولیت و مگنتیت (ج) اسکارن ترمولیت، مگنتیت و کوارتزدار، (د) اپیدوت، (پ) کلینوزوئیزیت، (پ) دولومیت، (پ) اسکاپولیت، (پ) تیتانیت، (پ) ترمولیت، (پ) اسکارن ترمولیت، (پ) اسکارن اپیدوت.



شکل ۱۲ الگوی پراش پرتو X، مربوط به نمونه اسکارن ترمولیت و اسکاپولیت دار: ۱: اسکاپولیت، ۲: کلسیت، ۳: ترمولیت.



شکل ۱۳ تصویر مقطع نازک صیقلی اسکارن دارای پیروتیت و پیریت، Py: پیروتیت، Po: پیریت، Cal: کلسیت.



شکل ۱۴ الگوی پراش پرتو X، مربوط به پیروتیت و پیریت، ۱: پیروتیت، ۲: پیریت.

اسکارن‌ها، استفاده کرد کانی ترمولیت است، با توجه به نوع پگماتیت‌های مورد بررسی (MSRE)، اگر فشار تشکیل این پگماتیت‌ها را حدود Kbar ۲-۳ بگیریم با توجه به گستره‌ی کانی‌های شاخص در دولومیت‌ها، دمای تشکیل این اسکارن‌ها حدود 450°C - 550°C است (شکل ۱۷).

بر اساس بررسی‌هایی که توسط [۳۵-۳۰]، صورت گرفت، بین ترکیب‌های آذرین و اسکارن‌های حاصل از آنها برازش وجود دارد، لذا بر اساس آنالیزهای مربوط به توده‌ی آذرین و بکارگیری برخی نمودارهای هارکر، می‌توان ترکیب توده‌ی مورد بررسی را با توده‌های گرانیتوئیدی اسکارن‌زای دنیا مقایسه کرد و ترکیب احتمالی اسکارن‌های حاصل از توده‌ی مورد نظر را براورد کرد. مقدار MgO در نمونه‌های پگماتیتی موجود مشابه گرانیتوئیدهای همراه با اسکارن Sn و Mo است (شکل ۱۸ الف)، در نمودار K_2O نیز این نمونه‌ها به سمت گرانیتوئیدهای با اسکارن Sn و Mo تمایل دارند (شکل ۱۸ ب)، در نمودار مجموع عناصر قلیایی نیز به سمت گرانیتوئیدهای با اسکارن W, Sn و Mo تمایل دارند (شکل ۱۸ پ)، موقعیت نمونه‌ها در نمودار ($\text{Fe}_2\text{O}_3 + \text{CaO} + \text{Na}_2\text{O}/\text{K}_2\text{O}$) نیز مشابه گرانیتوئیدهای توام با اسکارن Sn, W و Mo است (شکل ۱۸ ت) شاخص اشباع شدگی Al در این پگماتیت‌ها مشابه گرانیتوئیدهای توام با اسکارن Sn و Mo است (شکل ۱۸ ث). از آنجا که عنصر Mo به عنوان مهم‌ترین عنصر ردیاب تنگستن محسوب می‌شود و پس از آن، Sn عنصر همراه W است، لذا این نوع اسکارن‌ها اغلب با یکدیگر یافت می‌شوند. اسکارن‌های حاوی تنگستن اغلب در مجاورت با تولیت‌های گراناتودیبوریتی تا کوارتز مونزونیتی از نوع آهکی-قلیایی با سنگ‌های کربناتی بوجود می‌آید [۳۶]، چنین شرایطی در منطقه‌ی مورد بررسی به خوبی مشهود است. وجود این نوع اسکارن‌ها در منطقه، با گزارش ارائه شده توسط سازمان زمین‌شناسی دال بر وجود تنگستن، بصورت کانی شلیت (CaWO_4) و مولیبدنیت

واکنش‌های دگرگونی و شرایط تشکیل آنها

نمودار پاراژنز کانی‌های موجود در این اسکارن‌ها در شکل ۱۵ رسم شده است. این اسکارن‌ها از سه زون اصلی تشکیل شده- اند: ۱- زون اپیدوت ۲- زون ترمولیت ۳- زون پیروتیت، پیریت و کالکوپیریت.

معمول‌ترین واکنش برای تشکیل اپیدوت در مرمره‌ای منطقه به صورت زیر است [۲۹]. نمودار ترکیب - پاراژنز مربوط به این واکنش در شکل ۱۶ الف نشان داده شده است.

$\text{Tr} + \text{Pl} + \text{CO}_2 \rightarrow \text{Ep} + \text{SiO}_2 + \text{H}_2\text{O} + \text{Dol}$ [۲۹]، دو واکنش برای تشکیل ترمولیت به بهای مصرف دیوپسید و تالک ارائه کردند، اما از آنجا که در مقاطع مورد بررسی آثاری از این کانی‌ها دیده نشد؛ به نظر می‌رسد که با توجه به شواهد میکروسکوپی، ترمولیت‌های موجود به طور مستقیم از واکنش دولومیت با سیلیس تشکیل شده است. واکنش مناسب تشکیل ترمولیت در مرمره‌ای منطقه نیز به صورت زیر است [۲۹]، و نمودار ترکیب - پاراژنز واکنش مربوطه در شکل ۱۶ ب نشان داده شده است.

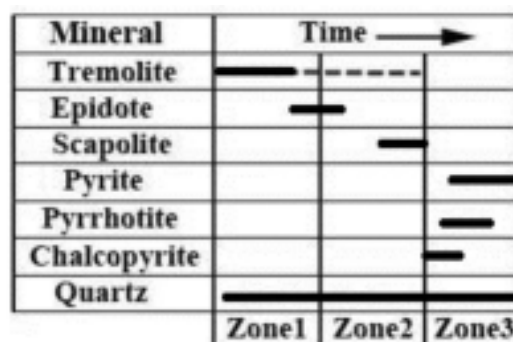
$\text{Dol} + \text{SiO}_2 + \text{H}_2\text{O} \rightarrow \text{Tr} + \text{CO}_2$ واکنش مورد نظر برای تشکیل ترمولیت و اسکاپولیت در منطقه نیز به صورت زیر است [۲۹]، نمودار ترکیب - پاراژنز این واکنش نیز در شکل ۱۶ پ نشان داده شد.

$\text{Dol} + \text{SiO}_2 + \text{H}_2\text{O} \rightarrow \text{Tr} + \text{Scp} + \text{CO}_2$ برای تشکیل کانی‌های سولفیدی در اسکارن‌های منطقه شاره‌های کانه‌ساز می‌باشد به حالت احیاء برسد. در این شرایط یون احیایی S^{2-} با کاتیون‌های فلزی دو ظرفیتی (M^{+2}) از جمله Fe و Cu وارد واکنش شده و کانی‌های سولفیدی نظیر پیروتیت، پیریت و کالکوپیریت را در این اسکارن‌ها ایجاد می‌کنند.

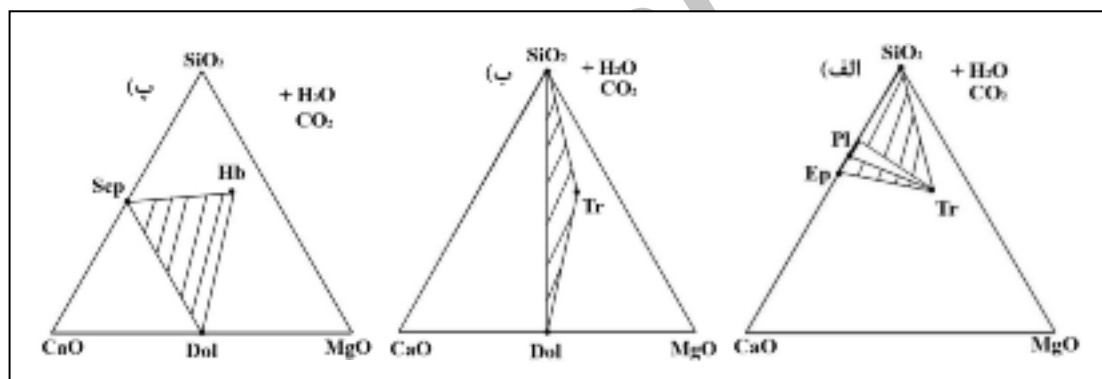
$(\text{M}^{+2}) + \text{S}^{2-} \rightarrow \text{MS}$ کانی شاخص تشکیل شده در این اسکارن‌ها که بتوان از آن برای تعیین شرایط دما و فشار حاکم بر محیط در زمان تشکیل

های آذرین همراه با اسکارن‌های Sn و Mo دارای نسبت Rb/Sr بالایی هستند، که نشان می‌دهد جدایش نقش اساسی در تشکیل این نوع نهشته‌ها داشته است. نسبت بالای (۱۲/۵۵) Rb/Sr در نمونه‌های پگماتیتی مورد بررسی، و نیز وجود طیف سنگی مختلف در منطقه، از دیوریت تا پگماتیت، موید نقش جدایش در تشکیل توده‌های پگماتیتی منطقه است.

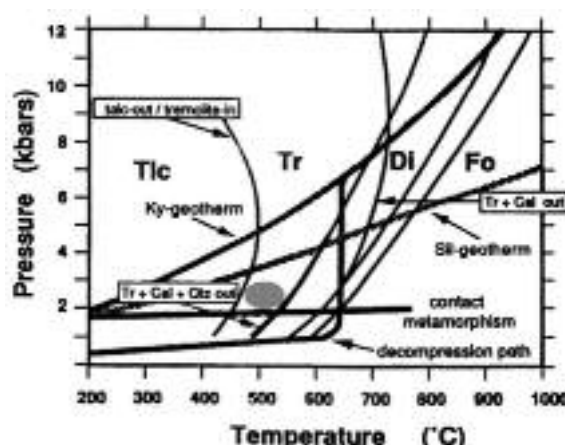
(MoS_2) به صورت کانی همراه، همچنان حضور بلورهای پولیت (CaMoO_4) در این اسکارن‌ها [۸]، که دارای محلول جامد با شلیت هستند؛ تاییدی دیگر بر این ادعاست. مهم‌ترین کانی موجود در این اسکارن‌های میزبان W، کانی شلیت است، دیگر کانی‌های همراه موجود عبارتند از پیروتیت، پیریت، کالکوپیریت و مگنتیت. بنابر [۳۴]، نهشته-



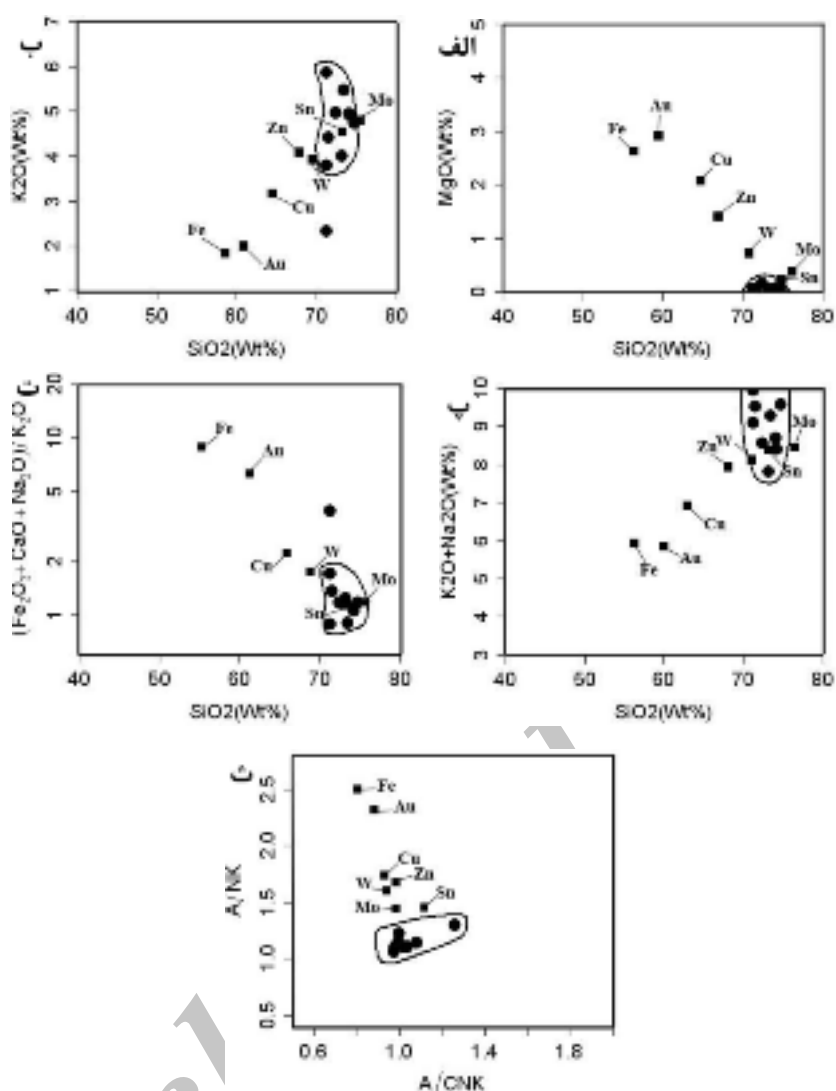
شکل ۱۵ نمودار دنباله‌ی پارازنزی موجود در اسکارن‌های منطقه.



شکل ۱۶ نمودارهای ترکیب - پارازنز [۲۹]، واکنش‌های صورت گرفته در اسکارن‌های منطقه‌ی ابراهیم عطار. Sep: اپیدوت، Dol: دولومیت، Pl: پرمولیت کوارتز، Tr: ترمولیت، Hb: هورنبلند.



شکل ۱۷ گسترده‌ی پایداری کانی‌های شاخص در دولومیت‌ها، موقعیت کانی‌های شاخص در منطقه‌ی ابراهیم عطار، با بیضی خاکستری مشخص شده است [۲۹].



شکل ۱۸ (الف-ث) مقایسه‌ی پگماتیت‌های مورد بررسی با گرانیتوئیدهای اسکارن‌زای دنیا (میانگین بدست آمده برای توده‌های اسکارن‌زای دنیا از [۳۰] بدست آمده است) نمونه‌های مورد بررسی به صورت دایره توپر و نمونه‌های استاندارد جهانی با مربع‌های توپر نشان داده شده‌است.

اپیدوت ۲- زون ترمولیت ۳- زون پیروتیت، پیریت و کالکوپیریت. پیروتیت و پیریت موجود در این اسکارن‌ها در شرایط احیایی تشکیل شده‌اند. با توجه به گستره‌ی کانی‌های ۳-۳ Kbar شاخص در دولومیت‌ها، این اسکارن‌ها در فشار حدود ۲ و در دمای حدود ۴۵۰-۵۵۰°C تشکیل شده‌اند. مقایسه‌ی ترکیب شیمیایی توده‌ی پگماتیتی مورد بررسی با توده‌های اسکارن‌زای دنیا و وجود شیلیت و پوپولیت در اسکارن‌ها، نشان می‌دهد که این توده مشابه توده‌های همراه با اسکارن‌های W، Sn و Mo است. نسبت بالای Rb/Sr (۱۲/۵۵) و نیز طیف سنگی موجود در منطقه از دیوریت تا پگماتیت، موید نقش جدایش در تشکیل این توده‌هاست.

برداشت

کوه ابراهیم عطار از دایک‌های پگماتیتی متعددی تشکیل شده است. این توده‌های پگماتیتی آخرین فاز تبلور ماغما در منطقه هستند. در نمودارهای عنکبوتی رسم شده، وجود بیهنجاری منفی Eu، نشان دهنده‌ی جدایش پلازیوکلازهای غنی از Ca در طول تبلور جدایشی از ماقماست. عناصر LILE نسبت به عناصر HFSE غنی شدگی نشان می‌دهند، به عبارت دیگر عناصر کمیاب دارای نقاط بیشینه و کمینه‌ای هستند که نشانگر محیط‌های در ارتباط با فرورانش است. در اثر نفوذ این توده‌های پگماتیتی به درون سنگ‌های کربناتی، اسکارن تشکیل شده است که دارای سه زون اصلی هستند: ۱- زون

مراجع

- Mineralogical Society of America, Review in Mineralogy and Geochemistry (2003) 455-486.
- [13] Passchier C. W., Trouw R. A. J., "Microtectonics", Springer-Verlag, Berlin, Heidelberg (1996) 289p.
- [14] Cerny P., Ercit T. S., "The classification of granitic pegmatites revisited", The Canadian Mineralogist 43 (2005) 2005-2026.
- [15] Shmakine B. M., "Muscovite and Rare Metal-Muscovite pegmatites", Nauka, Novosibirsk, USSR (in Russ) (1976).
- [16] Ercit T. S., "REE enriched granitic pegmatites", In: Linnen R.L., Samson I.M., (eds.) Rare element Geochemistry and Mineral Deposits, Geological Association of Canada, Short Course Notes 17 (2005) 175-199.
- [17] Wood P. A., "Petrogenesis of the Spruce Pine pegmatites, North Carolina", M. Sc. Thesis, Virginia Polytechnic Institute, Blacksburg, Virginia, USA (1996).
- [۱۸] سلامی ص.. "مطالعه پگماتیت‌های ابراهیم عطار با تأکید بر انواع بریل‌دار (جنوب قروه)" ، پایان نامه کارشناسی ارشد، دانشگاه بولعلی سینا (۱۳۹۰) ۱۳۴ ص.
- [19] Middlemost E. A. K., "Magmas and magmatic rocks, an introduction to igneous petrology", Longman Groupuk (1985).
- [20] Maniar P. D., Piccoli P. M., "Tectonic discrimination of granitoids", Geological Society of America Bulletin 101 (1989) 635-643.
- [21] Irvine T. N., Baragar W. R. A., "A guide to the chemical classification of common volcanic rocks", Can. Journal of Earth Science 8 (1971) 523-484.
- [22] Miyashiro A., "Volcanic rock series in island arcs and active continental margins", American Journal of Science, 274 (1974) 321-355.
- [23] Rickwood P. C., "Boundary lines within petrologic diagrams which use oxides of major and minor elements", Lithos 22 (1989) 247-263.
- [24] Collins W. J., Beams S. D., White A. J. R., Chappel B. W., "Nature and Origin of A-Type Granites with Particular Reference to Southeastern Australia", Contributions to Mineralogy and Petrology 80 (1982) 189-200.
- [25] Boynton W. V., "Cosmochemistry of the rare earth elements: meteorite studies, Rare Earth
- [1] London D., "Granitic pegmatites", Trans. Royal Soc. Edinb.: Earth Sci 87 (1996) 305-319.
- [2] London D., "Estimating abundances of volatile and other mobile components in evolved silicic melts through mineral melt equilibria", Journal of Petrology 38 (1997) 1691-1706.
- [3] London D., "Granitic pegmatites: an assessment of current concepts and directions for the future", Lithos 80 (2005) 281-303.
- [۴] عمیدی س. م، "تحقیق سنگ شناسی آذرین جنوب شهرستان قروه" ، پایان نامه کارشناسی ارشد، دانشگاه تهران (۱۳۴۵) ۶۰ ص.
- [۵] حسینی م، "شرح نقشه زمین‌شناسی ۱:۱۰۰۰۰ چهار گوش قروه (بیوست نقشه)" ، سازمان زمین‌شناسی و اکتشافات معدنی کشور (۱۳۷۶).
- [۶] ترکیان ا، "مطالعه ماقمایسم توده گرانوئیوریتی منطقه جنوبی قروه" ، پایان نامه دکتری، دانشگاه اصفهان (۱۳۸۷) ۱۳۵ ص.
- [۷] گردیده س، "پترولوزی مجتمعه آذرین و دگرگونی منطقه مشیرآباد- تازه آباد (جنوب قروه- کردستان)" ، پایان نامه کارشناسی ارشد، دانشگاه بولعلی سینا (۱۳۸۹) ۱۵۴ ص.
- [۸] دانشور ن، "بررسی لیتوژئوژنی کانی‌زایی تنگستان ابراهیم عطار (جنوب غرب قروه)" ، پایان نامه کارشناسی ارشد، دانشگاه تربیت معلم (۱۳۹۰) ۲۶۱ ص.
- [9] Hildreth W., "Gradients in silicic magma chambers: implications for lithospheric magmatism", Journal of Geophysical Research 86 (1981) 10153-10192.
- [10] Du Bray E.A., "Garnet compositions and their use as indicators of granitoid petrogenesis – southeastern Arabian shield", Contribution to Mineralogy and Petrology 100 (1988) 205-212.
- [11] Green T. H., "Garnet in silicic liquid and its possible use as P-T indicator", Contribution to Mineralogy and Petrology 65 (1977) 59-67.
- [12] London D., Evensen J. M., "Beryllium in Silicic magmas and the origin of beryl-bearing pegmatite". In: Grew, E.S. (Ed.), Beryllium: Mineralogy Petrology and Geochemistry,

- [32] Meinert L. D., “*Compositional variation of igneous rocks associated with skarn deposits-chemical evidence for a genetic connection between petrogenesis and mineralization*”, Mineralogical Association of Canada, Short Course Series 23 (1995) 401-418.
- [33] Meinert L. D., “*Application of skarn deposit zonation to mineral exploration and Mining Geology*”, Exploration and Mining Geology 6 (1997) 185-208.
- [34] Newberry R. J., Swanson S. E., “*Scheelite skarn granitoids: an evalution of the role of magmatic source and process*”, Ore Geology Reviews 1 (1986) 57-81.
- [35] Oztürk Y. Y., Helvacı C., Satır M., “*Genetic relations between skarn mineralization and petrogenesis of the Evciler Granitoid, Kazdag, Canakkale, Turkey and comparison with world skarn granitoids*”, Turkish Journal of Earth Sciences 14 (2005) 2155-280.
- [۳۶] حسنی پاک ع.ا.، ”اصول اکتشافات ژئوشیمیابی”， انتشارات دانشگاه تهران (۱۳۸۱) ۶۱۵ ص.
- [۳۷] حسامی ع.، ”پژوهه نیمه تفصیلی اکتشاف تندگستان”， سازمان زمین‌شناسی و اکتشافات معدنی کشور (۱۳۸۲) ۱۳۲ ص.
- Elements Geochemistry”, Elsevier, Amsterdam (1984) 63-114.
- [26] Tepper J. H., Nelson B. K., Bergantz G. W., Irving A. J., “*Petrology of the Chiliwack Batholith, North Cascades, Washington: generation of calc-alkaline granitoids by melting of mafic lower crust with variable water fugacity*”, Contributions to Mineralogy and Petrology 113 (1993) 333-351.
- [27] Sun S. S., McDonough W. F., “*Chemical and isotopic systematics of oceanic basalts: Implications for mantel composition and processes*. In: Saunders, A. D., and Norry, M. J., eds., *Magmatism in Ocean Basins*”, Geological Society of London, Special Publication 42 (1989) 313-345.
- [28] Floyd P. A., Winchester J. A., “*Magma type and tectonic setting discrimination using immobile elements*”, Earth and Planetary Science Letters 27 (1975) 211-218.
- [29] Bucher K., Frey M., “*Petrogenesis of metamorphic Rocks*”, Springer Verlag (1994).
- [30] Meinert L. D., “*Variability of skarn deposits-guides to exploration*”, In: Boardman, S.J. (Ed.) Revolution in the Earth Sciences. Kendall-Hunt Publishing, Dubuque, Iowa (1983) 301-316.
- [31] Meinert L. D., “*Igneous petrogenesis and skarn deposits*”, Geological Association of Canada Special Paper 40 (1993) 569-583.